

بررسی پارامترهای مؤثر بر حداکثر عمق و طول حفره آبشنستگی پائین دست سرریز کنگرهای مثلثی بدون کفبند

علی باباخانی^{۱*} ، مجتبی مرسلی^۲

- استادیار و عضو هیئت علمی، دانشکده فنی و مهندسی، دانشگاه زنجان
- دانشجوی کارشناسی ارشد سازه‌های هیدرولیکی، گروه عمران، دانشگاه زنجان

* Babakhani@znu.ac.ir

تاریخ دریافت ۱۳۹۸/۰۵/۰۲ تاریخ پذیرش ۱۳۹۹/۰۲/۱۷

چکیده

در این پژوهش آبشنستگی پائین دست سرریز کنگره بدون کفبند مطالعه شده است تا تخمين مناسبی برای ابعاد کفبند احتمالی بدست آید. در همین راستا علاوه بر مقادیر بیشینه عمق آبشنستگی، مقادیر طول و عرض حفره آبشنستگی ناشی از آزمایش‌های مختلف مطالعه و بررسی شده است. در این پژوهش آزمایش‌های آبشنستگی با سرریزهای کنگرهای با ۵ زوایه مختلف دیوار جانبی، ۴۵، ۳۰، ۲۲/۵ و ۶۷/۵ درجه و سرریز خطی (مدل شاهد) در ۷ حالت نسبت هدآب به ارتفاع سرریز ۰/۱ تا ۰/۷ انجام گرفته است. تأثیر هد آب روی سرریز، عدد فرود جریان و زاویه کنگره سرریز بر میزان ابعاد آبشنستگی مطالعه و بررسی شده است. بر مبنای نتایجی که از آزمایش‌ها بدست آمده می‌توان دریافت که به ازای مقادیر مختلف پارامترهای هد آب روی سرریز و زوایای دیوار جانبی سازوکار آبشنستگی حول سرریز متفاوت بوده و بر میزان عمق آبشنستگی و سایر ابعاد حفره تأثیر به سزایی دارد. بطوری که با افزایش ۷ برابری هد آب روی سرریز بطور متوسط عمق آبشنستگی ۱۲ برابر و طول حفره آبشنستگی ۱۰ برابر افزایش داشته و افزایش ۶ برابری زاویه دیوار جانبی نیز منجر به کاهش ۷۰ درصدی عمق آبشنستگی می‌شود. همچنین مشاهده شد که مقادیر طول حفره نهایی آبشنستگی ناشی از آزمایش‌های مختلف، با نسبتی از عمق آبشنستگی تغییر می‌کنند.

واژگان کلیدی: آبشنستگی پائین دست، ابعاد حفره، سرریز کنگرهای مثلثی، بدون کفبند.

مطالعات گسترده‌ای صورت گرفته است که مهمترین این

۱. مقدمه

مطالعات عبارتند از:

جتلینی (1941) جزو نخستین پژوهشگرانی بود که نتایج دبی عبوری از روی این سرریزها را با سرریز خطی مورد مقایسه قرار داد [1]. پس از آن توسط هی و تیلور (1970) پژوهش‌های گسترده‌ای روی الگوی جریان و رفتار

استفاده از سرریزهای کنگرهای به دلیل کاهش قابل توجه هزینه‌ها و مشکلات اجرایی در مقایسه با سایر سرریزها مورد توجه طراحان اینگونه سازه‌ها است این امر به علت افزایش طول مؤثر سرریز در عرض محدودی از کanal خروجی سرریز صورت می‌گیرد. در زمینه سرریزهای کنگرهای

جريان عبوری از روی سرریز پرداخته است و پیشنهاداتی برای بهبود عملکرد هیدرولیکی و افزایش ضریب آبگذری این سرریزها ارائه شده است. از آنجایی که این سرریزها در معرض جریان‌های سیلابی است و در یک عرض محدود دبی بیشتری را عبور می‌دهند، بنابراین آبشتستگی پائین‌دست این سازه یکی از چالش‌های اساسی برای تامین پایداری این سرریزها است. به همین منظور در این پژوهش آبشتستگی پائین‌دست سرریز کنگره بدون کف‌بند مورد مطالعه قرار گرفته است. بطوری‌که تخمین مناسب ابعاد حفره آبشتستگی همچون عمق، طول و عرض حفره می‌تواند اطلاعات مفیدی برای طراحی اولیه و پیش‌بینی‌های لازم جهت محافظت محدوده استقرار سرریز از قبیل طراحی محدوده و ابعاد سازه‌های محافظتی چون کف‌بند و... در اختیار مهندسین و طراحان سرریزها قرار دهد.

۲. امکانات آزمایشگاهی

آزمایش‌های مورد نظر در آزمایشگاه هیدرولیک دانشکده مهندسی عمران، دانشگاه زنجان در یک کanal مستطیلی از جنس فلز با دیواره‌های پلکسی به طول ۶ متر، عرض و ارتفاع $0/3$ متر و شیب کف یک درصد انجام شد. بالا دست سرریز به طول $3/5$ متر دارای بستر درشت‌دانه تثبیت‌شده و پائین‌دست آن به طول $2/5$ متر دارای دانه‌بندی یکنواخت با قطر متوسط $1/7$ میلی‌متر است. جنس سرریزها از ورق pvc با ضخامت 10 میلی‌متر و تحت دو سیکل آزمایش شده است. آزمایش‌های آبشتستگی برای سرریزهای کنگره‌ای با 5 زوایه مختلف $15, 22/5, 30, 45, 67/5$ درجه و خطی (مدل شاهد) به ازای 7 نسبت هدآب به ارتفاع سرریز $0/1$ تا $0/7$ انجام گرفت. در این آزمایش‌ها محدوده عدد فرود از $0/03$ تا $0/46$ و نسبت طول به عرض سرریز از 1 تا $3/8$ در نظر گرفته شد. در شکل (۱) سرریزهای استفاده شده در آزمایش‌ها در پلان نشان داده شده‌است. برای ثبت نتایج عمق و سایر ابعاد حفره‌آبشتستگی از یک متر لیزری با دقیقیت 1 میلی‌متر استفاده شد. در شکل (۲) تصویری از حفره آبشتستگی ارائه شده است. که در این شکل L_{se}, d_{se} به ترتیب بیشینه عمق و

هیدرولیکی حول این سازه‌ها انجام شد [۲]. وارملیتون و تیسانگ (2000)، مطالعاتی را روی هواهی سرریزهای کنگره‌ای انجام دادند. آنان آزمایش‌های خود را روی سرریزهای مستقیم، مستطیلی و مثلثی انجام دادند و چهار حالت را برای برخورد جریان با حوضچه پائین‌دست تعریف کردند [۳]. در ادامه ملو و همکاران (2002) یک روش پیشنهادی برای بهبود جهت‌گیری خطوط جریان ورودی به سرریز ارائه دادند. نتایج ایشان نشان داد که این امر موجب افزایش کارایی و ضریب آبگذری سرریزهای کنگره‌ای واقع در کanal با دیواره‌های همگرا می‌شود [۴]. قدسیان (2009)، پژوهشی را به منظور ارزیابی تأثیر طول و شکل تاج روی ضریب آبگذری سرریزهای کنگره‌ای مثلثی شکل در پلان به انجام رساند [۵]. کورکستون و تولیس (2010 و 2011 و 2) با انجام آزمایش در طی سال‌های مختلف به بررسی حالت مختلف قرارگیری سرریز داخل مخزن و کanal پرداختند. همچنین مطالعاتی در کanal‌های همگرا به سرریز کنگره‌ای و زاویه و جهت‌گیری خطوط جریان عبوری از روی سرریز انجام دادند [۶, ۷, ۸]. جعفری ندوشن (۱۳۸۹) پارامترهای تاثیرگذار بر ضریب آبگذری سرریزهای کنگره‌ای مثلثی و ذوزنقه‌ای را به روش CFD بررسی کردند [۹]. شفاقیان و تقی‌شریف (2015) و عباسپور و همکاران (2017) به ترتیب به مطالعه عددی و آزمایشگاهی میزان ظرفیت دبی عبوری از روی سرریز کنگره‌ای مثلثی با زوایا و ارتفاع‌های مختلف پرداختند [۱۰, ۱۱]. محمدزاده و همکاران (2017) به مطالعه آزمایشگاهی میزان انرژی ریزشی در پائین‌دست سرریزهای کنگره‌ای پرداختند [۱۲]. طبق مروری بر پژوهش‌های صورت گرفته در زمینه سرریزهای کنگره‌ای، تحقیقات اندکی در زمینه آبشتستگی پائین‌دست این سرریز انجام شده [۱۳]. اسماعیلی ورکی و همکاران (۱۳۹۶) میزان آبشتستگی موضعی در پائین‌دست سرریزهای کنگره‌ای مستطیلی و ذوزنقه‌ای را مورد آزمایش قرار دادند [۱۸].

مروری بر پژوهش‌های گذشته نشان می‌دهد که بیشتر مطالعات در زمینه سرریزهای کنگره‌ای به بررسی تاثیر شرایط جریان و شکل هندسی سرریز بر رفتار هیدرولیکی

۳. معرفی پارامترهای مؤثر بر ابعاد حفره

آبشنستگی حول سرریز

پدیده‌ی آبشنستگی حول سرریزها تابع چهار عامل اصلی، پارامترهای وضعیت هندسی رودخانه، پارامترهای ذرات بستر و شرایط سیال، پارامترهای شکل هندسی سرریز کنگره‌ای و پارامترهای هیدرولیکی جریان می‌باشند، که در تحقیق حاضر با توجه به ثابت‌بودن خصوصیات سیال و مصالح بستر (از نوع غیرچسبنده)، یکنواخت و کروی شکل) از بررسی پارامترهای رسوب و سیال صرف‌نظر شده است. همچنین بدليل ثابت‌بودن عرض و شیب کanal، ضخامت و ارتفاع سرریز، از بررسی برخی پارامترهای هندسی جریان و سرریز، چشم‌پوشی شده‌است با استفاده از آنالیز ابعادی پارامترهای باقیمانده، شکل کلی پارامترهای مؤثر بر ابعاد حفره آبشنستگی را می‌توان به صورت رابطه ۱ نوشت:

$$\phi = P \sqrt{gD} W \quad (1)$$

در رابطه ۱ ϕ معرف عمق و طول حفره آبشنستگی است. همچنین W عرض مجرای سرعت جریان، D عمق جریان V $\frac{V}{\sqrt{gD}}$ بالادست سرریز، معرف عدد فرود جریان بالادست

سرریز، H هد آب روی سرریز، L طول تاج سرریز، P ارتفاع سرریز و α زاویه دیوارهای جانبی سرریز می‌باشد در شکل ۳ این پارامترها نشان داده شده است. در این رابطه باید توجه داشت که دو پارامتر $\frac{\alpha}{W}$ بیانگر یک مفهوم یکسان از خصوصیت کنگره

سرریز می‌باشد بطوریکه با توجه به ثابت‌بودن عرض کanal، به ازای طول تاج معین سرریز، امکان ایجاد یک زاویه مختص آن طول وجود دارد، بنابراین یکی از این دو پارامتر در رابطه لحظه می‌شود. در جدول ۱ محدوده ابعاد مدل سرریزهای مورد استفاده در آزمایش‌ها ارائه شده‌است.

عرض کل ۳۰ سانتی متر و p ارتفاع آن ۲۰ سانتی متر، می‌باشد.

جدول ۱. محدوده ابعاد مدل فیزیکی مورد استفاده در آزمایش‌ها

زاویه کنگره	15	22.5	30	45	67.5	Linear
(cm) طول L	29	19.6	15	10.6	8.12	30
(cm) طول L _{total}	116	78.4	60	42.4	32.48	30

Table. 1. The limitations of physical model dimensions

طول حفره آبشنستگی و $H_{s(\max)}$ بیشینه ارتفاع پشته رسوبی است.

شکل ۱. سرریز کنگره‌ای: (الف) ۱۵ درجه، (ب) ۲۲/۵ درجه، (ج) ۳۰ درجه، (د) ۴۵ درجه، (ه) ۴۷/۵ درجه و (و) سرریز

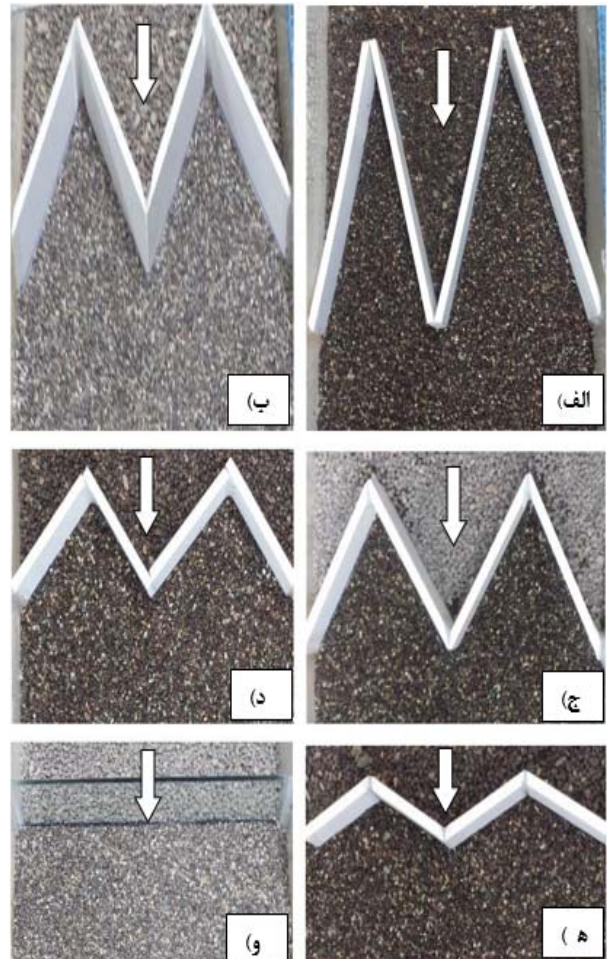


Fig. 1. A view of experimental model

شکل ۲. تصویری از حفره و نقطه حداقل عمق آبشنستگی

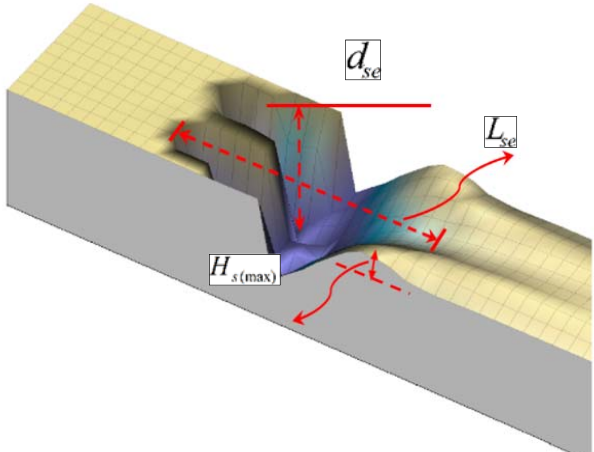


Fig. 2. The Schematic of scour hole and maximum scour depth

	0.2	1.02	5.1	13	110
	0.3	1.71	9.2	22	225
	0.4	2.50	13.2	30	360
	0.5	3.37	17.3	44	405
67.5°	0.1	0.29	2.2	3	60
	0.2	0.85	4.9	10	100
	0.3	1.47	9.8	20	210
	0.4	2.17	12.3	26	330
	0.5	2.92	18.6	35	375
Linear	0.1	0.28	1.2	2	60
	0.2	0.81	2.7	4	80
	0.3	1.40	5.8	10.5	135
	0.4	2.08	9.2	20	240
	0.5	2.78	13.2	26	290

Table. 2. Summary of experimental results

لازم بذکر است نتایج آبشتستگی ارائه شده در جدول ۲ مربوط به انتهای آزمایش‌ها می‌باشد بطوریکه مقادیر نهایی حداکثر عمق و طول حفره آبشتستگی، پس از به تعادل رسیدن حفره و توقف پدیده‌ی آبشتستگی برداشت می‌شد، با توجه به اینکه به طور مطلق نمی‌توان انتهایی به عنوان زمان به تعادل رسیدن حفره بدست آورد و هر اندازه از زمان شروع آبشتستگی گذشته باشد، باز هم فرآیند فرایش در حفره، هر چند اندک و نامحسوس، ادامه می‌یابد لذا در این آزمایش‌ها با توجه به توصیه‌های سایر محققین و بر اساس مشاهدات و تجربیات آزمایشگاهی زمان تعادل حفره تعیین شد.

نتایج جدول ۲ نشان می‌دهد زمان تعادل در آزمایش‌های مختلف بشدت $\frac{H}{P}$ وابسته به شرایط آزمایش‌ها می‌باشد. بطوریکه با افزایش پارامتر $\frac{P}{H}$ ، به واسطه افزایش شدت جریان و ابعاد حفره آبشتستگی مدت زمان به تعادل رسیدن حفره به میزان قابل توجهی افزایش می‌یابد. علاوه بر تاثیر پارامتر $\frac{P}{H}$ ، افزایش زاویه دیوارهای جانبی سریز نیز منجر به کاهش زمان تعادل آبشتستگی می‌گردد. با این حال تاثیر پارامتر P بر زمان تعادل به مراتب بیشتر از تاثیر زاویه دیوارهای جانبی می‌باشد.

در رابطه با ابعاد حفره آبشتستگی، از آنجاییکه میزان حداکثر عمق آبشتستگی وابسته به الگوی جریان عبوری و مکانیزم آبشتستگی می‌باشد، با بررسی مشاهدات کیفی این آزمایش‌ها روئیت شد که الگوی جریان و مکانیزم آبشتستگی حول

شکل ۳. شماتیک سریز کنگرهای

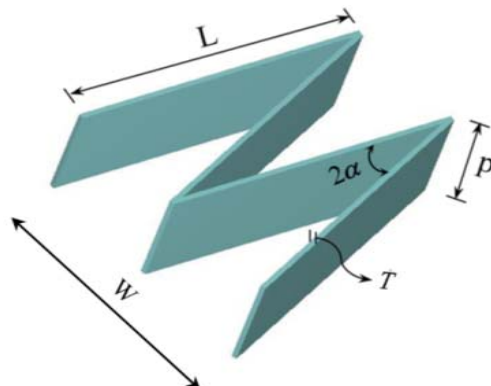


Fig. 3. The Schematic of labyrinth weir

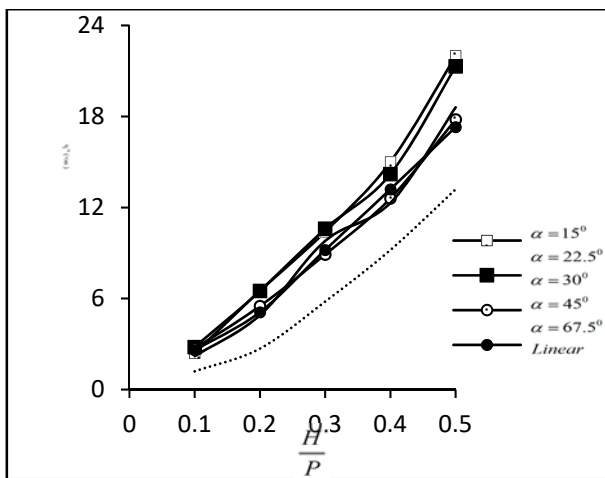
۴. تأثیر پارامترهای مختلف بر ابعاد حفره آبشتستگی

در این بخش تحلیل مکانیزم آبشتستگی پائین دست سریز به ازای مقادیر مختلف بارهیدرولیکی، زاویه سریز و عدد فرود جریان ارائه خواهد شد. در همین راستا پارامترهای مؤثر بر حداکثر عمق آبشتستگی و طول حفره آبشتستگی مورد مطالعه و بررسی قرار می‌گیرد.

در جدول ۲ نتایج آزمایشگاهی مقادیر حداکثر عمق، طول حفره آبشتستگی و زمان تعادل هر آزمایش به ازای شرایط مختلف آزمایشگاهی ارائه شده است.

جدول ۲. نتایج بدست آمده در آزمایش‌ها

α	P Q(Lit/s)	$d_{se}(cm)$	$L_{se}(cm)$	t_e (min)
50	0.1	0.63	2.4	5
	0.2	1.97	6.5	26
	0.3	3.10	10.4	38
	0.4	4.48	15	52
	0.5	5.82	22	60
22.5°	0.1	0.47	2.8	4
	0.2	1.48	6.5	16
	0.3	2.33	10.6	26
	0.4	3.34	14.2	40
	0.5	4.45	21.3	51
30°	0.1	0.40	2.7	4.5
	0.2	1.24	5.5	17
	0.3	2.00	8.9	29
	0.4	2.87	12.6	35
	0.5	3.80	17.8	47
45°	0.1	0.34	2.6	3.5
				65

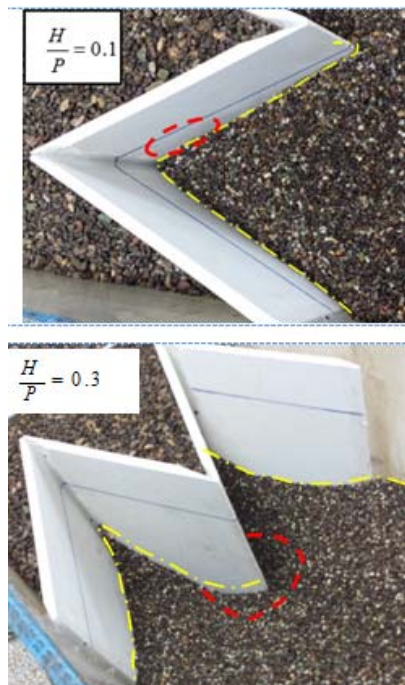
شکل ۵. تغییرات حداقل عمق آبستگی به ازای $\frac{H}{P}$ Fig. 5. Variation of scour depth under different $\frac{H}{P}$

طبق شکل (۵)، به ازای افزایش پارامتر $\frac{H}{P}$ ، عمق نسبی آبستگی نهایی همواره افزایش می‌یابد. بطوریکه با افزایش ۷ برابری هد آب روی سرریز، بطور متوسط عمق آبستگی ۱۲ برابر و طول حفره آبستگی ۱۰ برابر افزایش داشته و افزایش ۶ برابری زاویه سرریز نیز منجر به کاهش ۷۰ درصدی عمق آبستگی می‌شود. این موضوع با توجه به اینکه افزایش هد آب روی سرریز تأثیر قابل ملاحظه‌ای بر افزایش دبی عبوری و قدرت فرسایندی دارد قابل پیش‌بینی می‌باشد. همچنین نتایج نشان می‌دهد که بیشترین عمقدبی آبستگی مربوط به سرریز ۱۵ درجه می‌باشد بطوریکه عمدتاً با کاهش زوایه، طول تاج سرریز افزایش می‌یابد و منجر به افزایش دبی عبوری و در نتیجه افزایش میزان آبستگی خواهد شد. اما نکته قابل تأمل اینجاست که یکسری تناقضاتی در این روند به ازای تغییر زاویه وجود دارد. به عنوان مثال بیشترین عمقدبی آبستگی به ازای $\frac{H}{P} = 0.1, 0.2, 0.3$ حول سرریز ۲۲.۵ درجه رخ می-

دهد که با وجود داشتن دبی عبوری کمتر نسبت به دبی سرریز ۱۵ درجه، متناقض بنظر می‌رسد، ولی بدلیل مکانیزم آبستگی و شدت گردابه‌های شکل گرفته دارای حفره با شیب تندتری نسبت به سرریز ۱۵ درجه می‌باشد لذا با وجود داشتن حفره با حجم کمتر، نقطه عمقدبی آبستگی نهایی آن عمیق‌تر می‌باشد. همچنین شکل (۵) نشان می‌دهد که نخ افزایش حداقل عمقدبی آبستگی نهایی با افزایش $\frac{H}{P}$ (در P های بالا) شدیدتر بوده

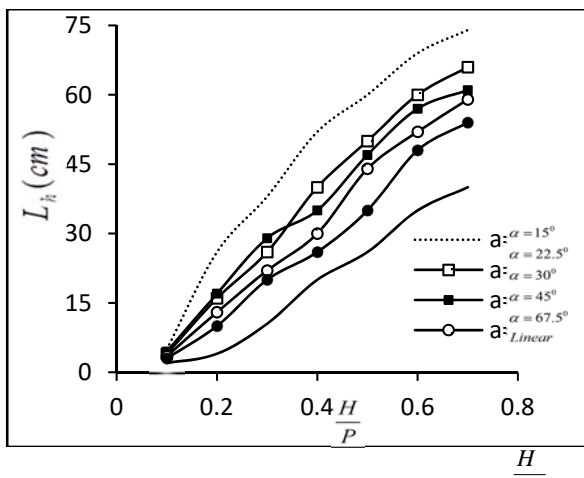
سرریزهای کنگره‌ای به ازای هر $\frac{H}{P}$ و زاویه خاص، مختص و منحصر به آن آزمایش خاص بوده و بندرت فرآیند آبستگی مشابهی در دو آزمایش مختلف رخ می‌دهد. لذا محل تشکیل حفره و حداقل عمقدبی آبستگی در آزمایش‌های مختلف یکسان نمی‌باشد حتی در برخی آزمایش‌ها بویژه در آزمایش‌های با مقادیر کم هد آب روی سرریز، به علت شرایط خاص جریان ریزشی حفره‌ها در مجاورت دیواره‌های سرریز شکل گرفته لذا بیش از یک حفره در هر سیکل سرریز ایجاد می‌شد. برای نمونه همانطوریکه در شکل (۴) نشان داده شده است به ازای $\frac{H}{P} = 0.1$ حداقل عمقدبی آبستگی در مجاورت جداره‌ها در $\frac{H}{P} = 0.1$ گوشه دیواره و به ازای $\frac{H}{P}$ ، حفره آبستگی و محل حداقل عمقدبی به سمت دماغه سرریز کشیده شده است.

شکل ۴. محل حداقل عمقدبی آبستگی ناشی از آزمایش‌های مختلف

Fig. 4. Location of maximum depth of scour under different $\frac{H}{P}$

با توجه به تقارن تقریبی در شکل و پروفیل حفره‌های آبستگی در دو سیکل سرریز، به ارائه نتایج آبستگی در یکی از سیکل‌های سرریز بسته شده است.

در شکل (۵) روند تغییرات حداقل عمقدبی آبستگی به ازای $\frac{H}{P}$ های مختلف ارائه شده است.

شکل ۷. تغییرات طول حفره در $\frac{H}{P}$ های مختلفFig. 7. Variation of scour length under different $\frac{H}{P}$

همانطوریکه قابل پیش‌بینی بود نتایج نشان می‌دهد با افزایش $\frac{H}{P}$ همواره طول حفره نهایی به میزان قابل توجهی افزایش می‌یابد. این روند برای کلیه سرریزها صدق می‌کند. افزایش مقدار $\frac{H}{P}$ منجر به افزایش دبی جریان و مومنتوم جت برخوردی به بستر می‌شود. این موضوع تقویت قدرت گردابه‌ها و تشدید نرخ انتقال ذرات به پائین دست را در بی خواهد داشت، بنابراین حفره آبستنگی به علت تقویت تنش‌های برشی واردہ بر بستر بطور قابل ملاحظه‌ای توسعه یافته و ابعاد حفره و پشتہ رسوبی افزایش می‌یابد. همچنین نتایج نشان می‌دهد که با کاهش زاویه سرریز نیز $\frac{H}{P}$ طول حفره آبستنگی افزایش می‌یابد. که دلیل آن مشابه با تأثیر $\frac{H}{P}$ ، افزایش تنش‌های بستر و شدت گردابه‌ها با افزایش دبی جریان در سرریزهای با زاویه کمتر است، بطوریکه با کاهش زاویه طول تاج سرریز و کنگره افزایش می‌یابد و در کل منجر به افزایش دبی عبوری و نهایتاً افزایش میزان طول حفره آبستنگی خواهد شد. بیشترین طول حفره آبستنگی مربوط به سرریز ۱۵ درجه و کمترین طول حفره مربوط به سرریز شاهد (خطی) می‌باشد. در جدول ۲ مقادیر طول نهایی حفره آبستنگی در کلیه سرریزها به ازای مقادیر مختلف بار هیدرولیکی ارائه شده است. با دقت در نتایج جدول ۲ دیده می‌شود که طول حفره آبستنگی سرریز $\frac{H}{P} = 0.2, 0.3$ کمتر از طول حفره آبستنگی سرریز $\frac{H}{P} = 0.2, 0.3$ درجه به ازای

سرریز 30° درجه می‌باشد با توجه به دبی جریان بیشتر سرریز $\frac{H}{P} = 0.2, 0.3$ درجه متناقض بنظر می‌رسد، ولی بدليل

و افزایش قابل ملاحظه‌ای به خود می‌گیرد که حائز اهمیت می‌باشد. از دیگر عوامل موثر بر میزان و محل وقوع حداکثر عمق آبستنگی تداخل جریان‌های ریزشی است، که محل این تداخل بشدت وابسته به زوایه سرریز و $\frac{H}{P}$ می‌باشد. بطوریکه با افزایش زاویه، جریان‌های ریزشی از طرفین سرریز با شدت کمتر با یکدیگر برخورد کرده و در زوایای کمتر، بدلیل نزدیکت بودن دیواره‌های جانبی، تداخل دارای محدوده و شدت بیشتری می‌باشد که در شکل ۶ نمونه‌ای از تاثیر زاویه سرریز بر محدوده تداخل جریان‌های ریزشی نشان داده شده است.

شکل ۶. نمونه‌ای از تاثیر زاویه بر محدوده تداخل جریان‌های ریزشی

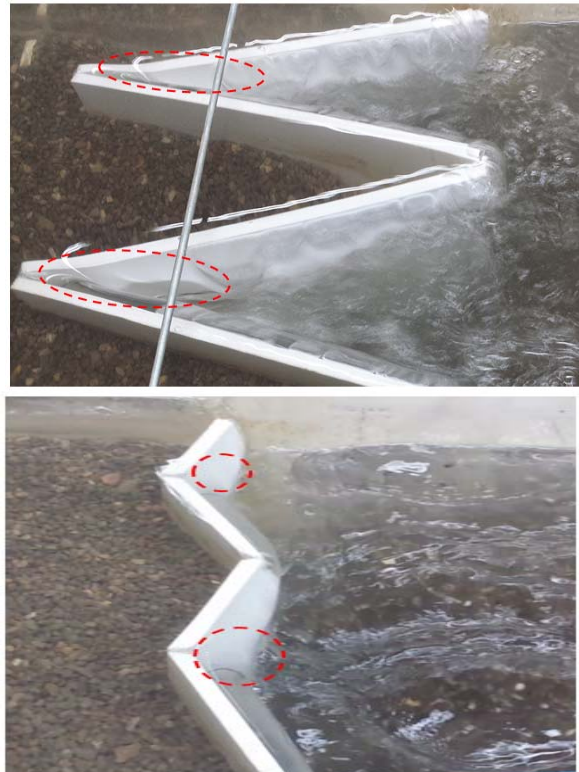


Fig.6. Effect of weir angle on interference region

لازم بذکر است که به ازای $\frac{H}{P}$ های بالا، تأثیر زاویه سرریز بر شدت تداخل و ناحیه وقوع آن بشدت افزایش می‌یابد.

۵. طول حفره آبستنگی

در شکل (۷) غیرلت $\frac{H}{P}$ طول نهایی حفره آبستنگی در کلیه سرریزها به ازای $\frac{H}{P}$ مختلف نشان داده شده است.

همانطور که مشاهده می‌شود عدد فرود تأثیر معناداری بر پارامترهای آبشتستگی دارد و افزایش عدد فرود همواره منجر به توسعه ابعاد حفره آبشتستگی می‌شود. با دقت در نتایج می‌توان دریافت که مقادیر طول و عمق نهایی حفره آبشتستگی با یک رابطه تقریباً خطی از تغییرات عدد فرود تعیت می‌کند که البته شبیه این رابطه خطی برای سرریز با زاویه‌های مختلف یکسان نمی‌باشد هر چه زاویه کاوش می‌یابد این شبیه تندتر می‌شود که بیانگر این مفهوم است که تأثیر عدد فرود در آبشتستگی حول سرریزهای کنگره‌ای بیشتر از سرریز خطی می‌باشد. طبق داده‌های جدول ۲، با افزایش حدود ۶ برابری عدد فرود، عمق آبشتستگی ۱۰ تا ۱۳ برابر و طول حفره ۷ تا ۱۲ برابر رشد می‌کند. طبق نتایج جدول، با افزایش عدد فرود، بیشترین رشد عمق آبشتستگی مربوطه به سرریز با زاویه کنگره ۲۲/۵ درجه و بیشترین رشد طول حفره آبشتستگی مربوط به سرریز با زاویه کنگره ۱۵ درجه می‌باشد.

۷. رابطه بین طول و حداقل عمق آبشتستگی

با کمی تأمل در مقادیر ابعاد نهایی حفره آبشتستگی مشاهده گردید که مقادیر طول و حجم حفره نهایی آبشتستگی ناشی از آزمایش‌های مختلف، با نسبتی از عمق آبشتستگی تغییر می‌کنند. شکل (۱۰) تغییرات طول حفره نسبی آبشتستگی نسبت به حداقل عمق نسبی آبشتستگی در آزمایش‌های مختلف را نشان می‌دهد.

شکل ۱۰. تغییرات طول حفره نسبت به حداقل عمق آبشتستگی

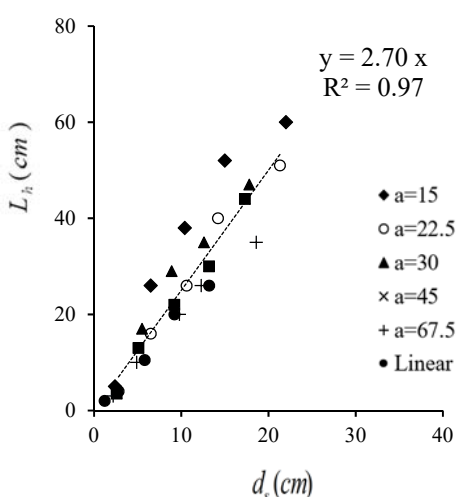


Fig. 10. Relationship between scour length and scour

زاویه برخورد تندتر جت آب عبوری از سرریز ۲۲/۵ درجه، بستر آن دارای حفره‌ای با شبیه تندتر می‌باشد بطوریکه با وجود میزان حجم آبشتستگی بیشتر، عده آبشتستگی و توسعه حفره در راستای عمقی اتفاق افتاده و حفره در راستای طولی توسعه کمتر داشته است. بنابراین طول حفره آبشتستگی آن کمتر می‌باشد.

۶. تأثیر عدد فرود بالادست سرریز بر عمق و سایر ابعاد حفره آبشتستگی

بسیاری از تحقیقات در زمینه آبشتستگی نشان می‌دهد که عدد فرود از پارامترهای تأثیر گذار بر پدیده آبشتستگی می‌باشد. به همین منظور در این قسمت سعی شده تا تأثیر عدد فرود بر عمق و ابعاد حفره آبشتستگی مورد مطالعه و تحقیق قرار گیرد. در شکل های (۸) و (۹) تغییرات عمق نهایی و طول حفره آبشتستگی سرریز با زوایای مختلف به ازای تغییرات عدد فرود نشان داده شده است.

شکل ۸. تغییرات عمق نهایی آبشتستگی به ازای عدد فرود

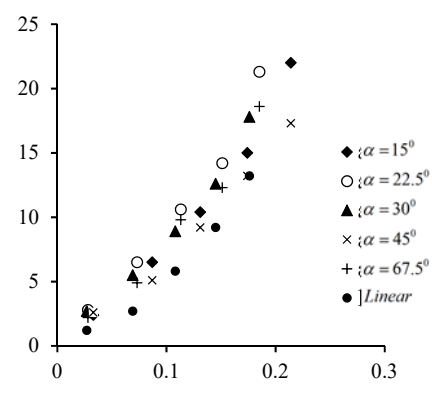


Fig. 8. Variation of scour depth with Froude number
شکل ۸. تغییرات طول حفره آبشتستگی به ازای عدد فرود

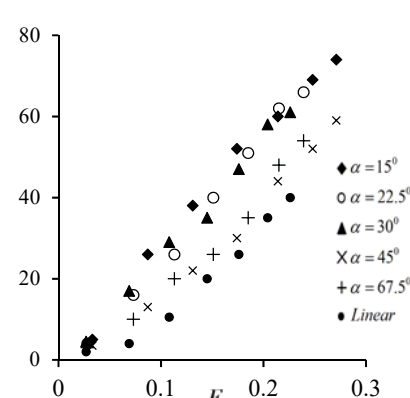


Fig. 9. Variation of scour length with Froude number

- Idrauliche del Regio Politecnico di Milano. 1941, No. 48. (in Italian).
- [2] Hay, N and Taylor, G., "Performance and design of labyrinth weirs". ASCE, J. Hydraul. Eng., 1970, 96(11), 2337-2357.
- [3] Wormleaton, P and Tsang, C., "Aeration performance of rectangular planform labyrinth weirs". American Society of Civil Engineering, Journal of Environmental Engineering, 2000, 127(5): 456-465.
- [4] Melo, J., Ramos, C and Magalhães, A., "Descarregadores com soleira em labirinto de um ciclo em canais convergentes". Determinação da capacidade de vazão. Proc. 6º Congresso da Água, Porto, Portugal. (in Portuguese), 2002.
- [5] Ghodsian, M., "Stage-discharge relationship for a triangular labyrinth spillway". Proc. Inst. Civ. Eng. Water Manage, 2009, 162(3):173–178
- [6] Crookston, B.M and Tullis, B., "Hydraulic performance of labyrinth weirs". Proc. of the Int. Junior Researcher and Engineer Workshop on Hydraulic Structures (IJREWHS'10). Edinburgh, U.K, 2010.
- [7] Crookston, B.M and Tullis, B.P., "Hydraulic characteristics of labyrinth weirs, Labyrinth and Piano Key weirs (PKW)", 2011, 25-32.
- [8] Crookston, B.M., Tullis, B.P., "Discharge Efficiency of Reservoir-Application-Specific Labyrinth Weirs", American Society of Civil Engineering, Journal of Hydraulic Engineering, 2012, 138(6), 564-568.
- [9] Jafari Nadoshan, A."Investigation of discharge coefficient of trapezoidal labyrinth Spillway with using ANFIS Models and Genetic Algorithms", MSc Thesis, Sistan and Baluchestan University, Zahedan, Iran, 2010.(in Persian)
- [10] Shaghaghi, M.M., Taghi Sharifi, M., "Numerical Modeling of Sharp-Crested Triangular Plan Form Weirs Using FLUENT", Indian Journal of Science and Technology, 2015, 8(34), 782-789.
- [11] Abbaspoor, B., Hamzeh Haghabi, A., Maleki, A., Torabi Poodeh, H., "Experimental and numerical evaluation of discharge capacity of sharp-crested triangular plan form weirs." Int. J. Engineering Systems Modelling and Simulation. 2017, Vol.9, No.2.
- [12] Mohammadzadeh-Habili, J., Heidarpour, M., Samiee, S., "Study of Energy Dissipation and Downstream Flow Regime of Labyrinth

طبق شکل (۱۰) می توان گفت، تغییرات طول حفره آبستنگی تقریباً با رابطه‌ی خطی از عمق آبستنگی تعیت می‌کند، این نسبت همان شب خطر برآش ($m=2.7$) بوده و رابطه $L_s = 2.7d_s$ با دقت $R^2 = 0.97$ بیانگر این ارتباط می‌باشد.

۸. خلاصه و نتیجه‌گیری

در این تحقیق تأثیر پارامترهای هد آب روی سرریز، عدد فرود جریان و زاویه دیوارهای جانبی بر ابعاد حفره آبستنگی پائین-دست سرریز کنگرهای مثلثی مورد مطالعه و بررسی قرار گرفت. نتایج نشان داد به ازای مقادیر مختلف پارامترهای هد آب روی سرریز و زوایای سرریز، مکانیزم آبستنگی حول سرریز متفاوت بوده و بر میزان عمق آبستنگی و سایر ابعاد حفره تأثیر دارد. بطوریکه در کلیه آزمایش‌ها با افزایش هد آب روی سرریز بدليل افزایش دبی عبوری از سرریز، میزان حداکثر عمق آبستنگی همواره افزایش می‌یابد. همچنین بیشترین عمق آبستنگی حول سرریز ۱۵ درجه و کمترین عمق برای سرریز شاهد (خطی) رخ می‌دهد. علاوه بر عمق آبستنگی، با افزایش هد آب روی سرریز سایر ابعاد حفره آبستنگی نیز به میزان قابل توجهی افزایش می‌یابد.

با افزایش زوایه سرریز به علت کاهش طول تاج آن و کاهش دبی عبوری، میزان آبستنگی کاهش می‌یابد. البته تنافضاتی در روند تغییرات عمق آبستنگی بر مبنای زوایه کنگره وجود دارد. به عنوان مثال سرریز $22/5$ درجه بدليل مکانیزم آبستنگی متفاوت دارای حفره با شب تندتری نسبت به سرریز 15 درجه می‌باشد لذا با وجود داشتن حفره با حجم کمتر، عمق آبستنگی نهایی عمیق‌تری می‌باشد. مقادیر ابعاد حفره آبستنگی با یک رابطه نسبتاً خطی از تغییرات عدد فرود تعیت می‌کند شب این رابطه برای سرریز با زوایه های مختلف یکسان نمی‌باشد.

همچنین مقادیر طول حفره نهایی آبستنگی ناشی از آزمایش‌های مختلف، با نسبتی از عمق آبستنگی تغییر می‌کنند.

۹. منابع

- [1] Gentilini, B., "Stramazzi con cresta a pianta obliqua e a zig-zag". Memorie e study dell'Istituto di Idraulica e Costruzioni

Structures with Labyrinth Planform", Irrigation and Drainage Structures Engineering Research, 2017,18 (68), 129-142. (in Persian)

- Weirs". Iran Journal Sci Technol Trans. Civ .Eng, 2017, 142(3): 231–243.
- [13] Esmaeili-Varaki, M , Rajaei, A, Shafiei-Sabet, B. "Laboratory Study on Local Scour at the Downstream of Grade Control

Investigation on the effect of different parameters on maximum scour depth and length at triangular labyrinth weir without apron

Ali babakhani^{1*}, Mojtaba Morsali²

*1. Assistant professor, Faculty of Engineering, University of Zanjan
2. M.Sc. Student, Faculty of Engineering, University of Zanjan

Abstract

Weirs located on rivers massively used to regulate the flow of water, facilitate flow diversion for various purposes. These weirs play an important role in passing surplus water during floods. Given that the site of the weir is often restricted in width, Labyrinth weirs with different shapes have been developed to increase weir length and discharge capacity. Labyrinth weirs can pass large flows at comparatively low heads. Since labyrinth weirs are relatively low-cost spillways compared to gated spillways, they are often used in conjunction with rising of dams for increased storage volume. Another reason for their use is often the upgrading of the flood discharge capacity at existing dams, especially at concrete gravity dams. Labyrinth weirs are also used as protection structures for canals and run-of-river hydroelectric plants. Labyrinth weirs located on the rivers are often exposed to Flood; therefore one of the principal challenges of their use of them is scouring around them.

Accurate estimation of the maximum possible depth of scour at weirs is important in decision-making for the safe depth of burial of footings. Therefore, we studied downstream scour at the triangular labyrinth spillway (W-weir) without apron under clear water on straight Flume. In this study, we used labyrinth weir with 6 different sidewall angles (15° , 22.5° , 30° , 45° , 67.5° , Linear) and seven ratios ($H/P=0.1, 0.2, 0.3, 0.4, 0.5, 0.6, 0.7$). In this experiments the effect of H/P , Froude number and sidewall angles on scour depth and hole dimensions were investigated. The results indicated that H/P , Froude number and cycle sidewall angles had a significant effect on scour depth and hole dimensions. Also, Experimental observations showed that the mechanism and the value of scouring at weir varied for the different value head and sidewall angles. As H/P increased, the flow discharge over weir and shear stress on the bed decreased sharply, so scour depth and scour hole dimension developed massively. The results showed, When H/P increased 7 times, scour depth increased 12 times and scour length 10 times.

As mentioned, In $H/P < 0.2$ phase, because the flow falls freely over the labyrinth crest, scour-hole strip occurs paralleled next to the entire length of the labyrinth sidewall. As the water head increases continues scour hole strip in the entire length of weir convert to two separate scour holes downstream of the weir. In addition, the sidewall angle has a significant effect on the location of the maximum scour depth by affecting the region of the flow interference. That way, with increasing sidewall angles 6 times, scour depth decreased 70%. In this study, in addition to studying scour hole, the effect of H/P and sidewall angle were investigated on the dimensions of deposition ridge.

The results indicated that, there is no reasonable relationship between hydraulically parameters and the maximum height of sediment ridge. Finally, with analyzing data and the results of experiments, we presented some empirical formulas for estimating the scour-hole dimensions according to scour depth.

Keywords: Experimental, Scour, Downstream, weir, Labyrinth, Triangular, without apron.